

АТМОСФЕРНАЯ РАДИАЦИЯ, ОПТИЧЕСКАЯ ПОГОДА И КЛИМАТ

УДК 551.521.510+57.045

Сравнительный анализ рядов наблюдений общего содержания озона и УФ–В-радиации в зонах произрастания бореальных лесов

В.В. Зуев^{1,2}, Н.Е. Зуева¹, Е.М. Короткова^{1*}

¹Институт мониторинга климатических и экологических систем СО РАН
634055, г. Томск, пр. Академический, 10/3

²Национальный исследовательский Томский государственный университет
634050, г. Томск, пр. Ленина, 36

Поступила в редакцию 8.07.2015 г.

Приведены результаты корреляционного анализа рядов наблюдений общего содержания озона (ОСО) и ультрафиолетовой радиации диапазона длин волн 300–315 нм (УФ–В-радиация) станций умеренного пояса Северного полушария (выше 50° с.ш.) России и Канады, расположенных в зоне произрастания бореальных лесов. Показано, что в этой климатической зоне основным модулятором биологически активной части спектра УФ–В-радиации является озоносфера. Определены коэффициенты радиационного усиления солнечного излучения в УФ–В-области спектра. Показано, что истощение ОСО на 20% относительно многолетнего среднего более чем в 2 раза повышает дозу солнечного излучения коротковолновой части спектра УФ–В-радиации относительно ее климатической нормы.

Ключевые слова: УФ–В-радиация, спектр биологического действия, озоносфера, общее содержание озона, корреляционный анализ; UV–B radiation, biologically active spectra, ozonosphere, total ozone, correlation analysis.

Введение

Наиболее выраженное деструктивное воздействие на биосферу способна оказывать коротковолновая часть ультрафиолетовой солнечной радиации (УФР) диапазона длин волн 280–315 нм (УФ–В-радиация), поскольку фактически максимум спектра поглощения биологическими макромолекулами (белками и нуклеиновыми кислотами) совпадает с нижней границей данного спектрального диапазона. Поглощение высокоэнергетичных фотонов приводит к разрыву молекулярных связей и способствует возникновению негативных изменений, которые могут сохраняться в течение нескольких лет [1–3]. Свертка двух функций – биологической чувствительности живых организмов, характеризующей эффективность поглощения УФР биологическими макромолекулами, и интенсивности УФР, представляет собой биологически активный спектр, максимум которого соответствует длине волны $\lambda = 305$ нм [4].

Известно, что интенсивность прямой приземной солнечной радиации определяется общим содержанием озона (ОСО), а также аэрозольным и газовым состоянием атмосферы [5]. Вклад ОСО в изменчивость коротковолновой УФР является превалирую-

щим, поскольку основное поглощение происходит в полосах озона Хартли и Хаггинса, а влияние аэрозольно-облачной составляющей в УФ–В-области спектра ниже, чем в видимом диапазоне длин волн [6–8]. Таким образом, при высоком уровне ОСО в средних и высоких широтах основным природным фильтром, регулирующим уровень приходящей УФ–В-радиации, является озоновый слой [5].

Характер влияния ультрафиолетовой радиации на физиологические процессы растения зависит не только от длины волны, но и от продолжительности облучения. Исследования отклика фотосинтетического аппарата саженцев ели сибирской (*Picea obovata* Ledeb.) на воздействие УФ–В-радиации на длине волны 308 нм показали, что к кратковременному воздействию в границах естественного синоптического периода (около 7 дней) фотосинтетический аппарат ели толерантен. Однако результатом экспозиции в течение 15 сут, что соответствует среднему времени жизни блокирующего антициклона, формирование которого сопровождается понижением ОСО, стал выраженный спад содержания фотосинтетических пигментов, квантового выхода первичного разделения зарядов ФС II и интенсивности наблюдавшегося фотосинтеза: отмечалось увеличение интенсивности дыхания и замедление роста хвои текущего года. Аномальное по продолжительности воздействие (до 3 нед) привело к серьезным необратимым нарушениям структуры и функционального состояния фотосинтетического аппарата экспериментальной группы

* Владимир Владимирович Зуев (vvzuev@imces.ru);
Нина Евгеньевна Зуева (vzuev@list.ru); Екатерина Михайловна Короткова (katia_sova@mail.ru).

растений [9]. Повторяемость блокирующих антициклонов невелика и составляет примерно 1%, однако аномальное понижение ОСО относительно многолетней нормы может происходить при вулканогенных возмущениях стратосферы [10], а также над зонами тектонических разломов [11].

В континентальных районах средних и высоких широт Северного полушария бореальные леса, основу которых составляют вечнозеленые хвойные растения, являются основным естественным модулятором концентрации углекислого газа в нижней атмосфере, поскольку основной сток углерода осуществляется за счет фотосинтетической аккумуляции в растительной биомассе и подстилающей почве. Однако именно таежные леса наиболее чувствительны к стрессовым воздействиям [12], в том числе и к длительному влиянию повышенных доз коротковолновой УФ–B-радиации, вызванному отрицательными озоновыми аномалиями.

При всей значимости проблемы, связанной с влиянием приходящей ультрафиолетовой радиации на биосферу, данные спутниковых измерений не позволяют провести корректную оценку ее коротковолновой части, а наземная сеть наблюдений недостаточно развита. В то же время сформирована широкая озонометрическая сеть наземных наблюдений, а данные спутникового зондирования общего содержания озона в атмосфере можно получить практически для любых географических координат. Таким образом, для прогнозирования и оценки негативных воздействий УФ–B-радиации на биосферу, в том числе связанных с депрессией фотосинтетических процессов бореальных лесов, важным является исследование значимости связи ОСО и коротковолновой УФР.

Корреляционный анализ временных рядов ОСО и полного диапазона спектра приземной УФ–B-радиации для станции Эдмонтон (Канада), а также ОСО и УФР на длине волны 305 нм для пяти станций Канады, расположенных в регионах с различными климатическими условиями, показал, что основным модулятором биологически активной УФР ($\lambda < 310$ нм) является озонасфера [13–15]. Выбор станций Канады был обусловлен отсутствием препре-

зентативных данных о коротковолновой УФ–B-радиации для зоны бореальных лесов Восточного полушария. В настоящее время ряд радиационных наблюдений в Томске за период 2004–2012 гг. позволяет провести подобные исследования для спектрального диапазона 300–315 нм и сопоставить полученные результаты с данными корреляционного анализа для станций Западного полушария, близких по своему широтному расположению.

Многолетние нормы ОСО, УФ–B-радиации и облачности

Для выполнения корреляционного анализа были выбраны станции наземных наблюдений УФР, расположенные в узком широтном поясе 53,31–56,48° с.ш.: Томск (Россия) в Восточном полушарии, Гус-Бей и Эдмонтон (Канада) в Западном полушарии. Информация о географических координатах, абсолютной высоте станций, климате и среднем количестве пасмурных дней в году представлена в табл. 1.

Ряды среднемесячных значений ОСО за период с 1979 по 2012 г. были получены по данным реаниализа TEMIS спутниковых измерений аппаратурой TOMS, OMI и SIAMACHY [16]. Для формирования рядов среднемесячных значений дозы УФ–B-радиации на длинах волн 300, 305, 310 и 315 нм были использованы данные наземных измерений, выполненных спектрофотометром Brewer, базы Всемирного центра WOUDC (World Ozone and Ultraviolet Radiation Data Centre) [17]. Сведения о периоде мониторинга УФР и временном интервале, в рамках которого в дальнейшем выполнялся корреляционный анализ, приведены в табл. 2.

Для построения климатической нормы УФ–B-радиации были использованы данные полного периода мониторинга УФР, а ограничения, касающиеся анализируемого периода, обусловлены требованиями сравнительного анализа.

На рис. 1 представлены климатические нормы ОСО (рис. 1, а) и УФ–B-радиации на длине волны 305 нм (рис. 1, б), а также многолетнее среднее количество пасмурных дней в году (рис. 1, в).

Таблица 1

Географические координаты, абсолютная высота, климат и количество пасмурных дней станций наземного мониторинга УФР

Станция наземного мониторинга	Географические координаты	Абсолютная высота, м	Климат	Количество пасмурных дней, %/год*
Гус-Бей	53,31° с.ш.; 60,36° з.д.	44	умеренный морской	64,82
Эдмонтон	53,55° с.ш.; 114,10° з.д.	766	резко-континентальный	43,63
Томск	56,48° с.ш.; 85,07° в.д.	170	континентальный	47,67

* Информация о количестве пасмурных дней получена по данным сайтов worldweather.ru и climatebase.ru.

Таблица 2

Период мониторинга УФР и временной интервал, в рамках которого выполнялся корреляционный анализ

Станция наземного мониторинга	Период мониторинга УФР	Анализируемый период	Продолжительность анализируемого периода, лет
Гус-Бей	1997–2012	2005–2011	7
Эдмонтон	1992–2010	2002–2006, 2008–2010	8
Томск	2004, 2006–2012	2004, 2006–2012	8

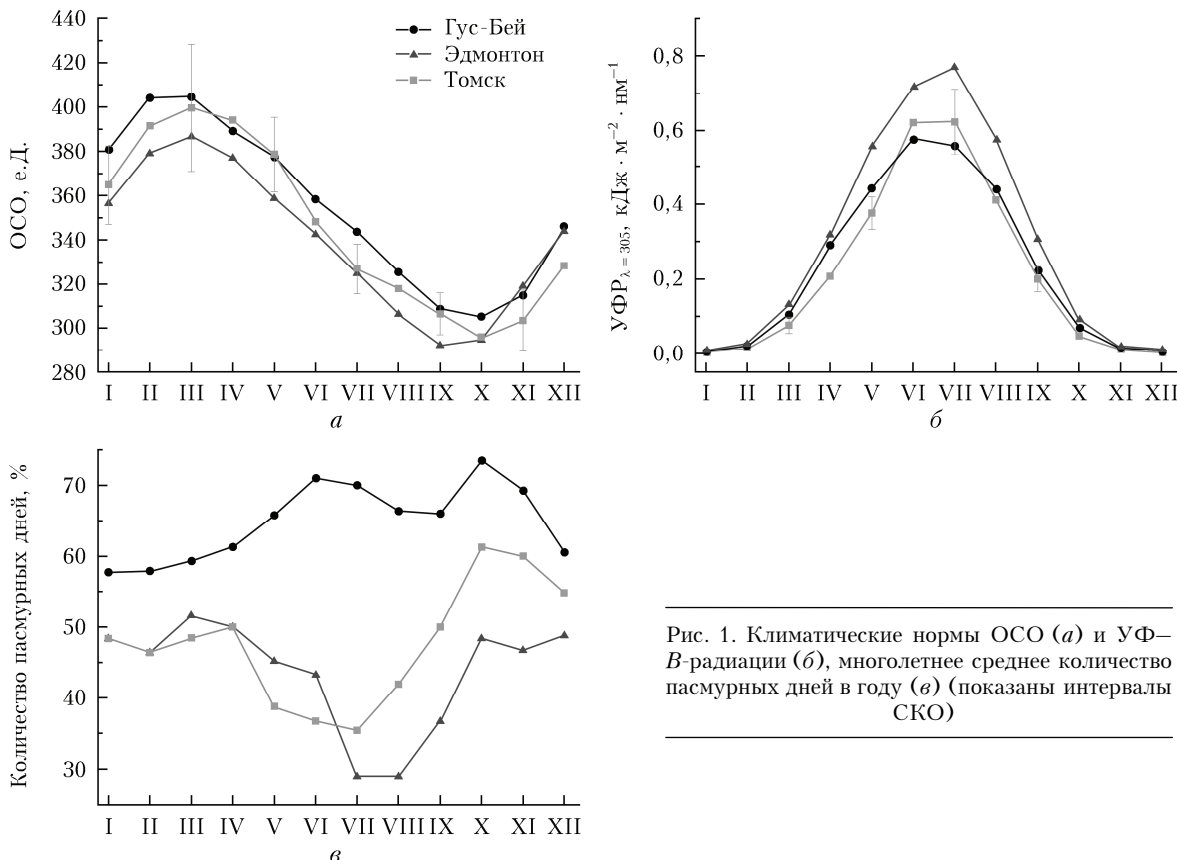


Рис. 1. Климатические нормы ОСО (а) и УФ–B-радиации (б), многолетнее среднее количество пасмурных дней в году (в) (показаны интервалы СКО)

Известно, что пространственное распределение суммарного озона определяется главным образом географической широтой региона и циркуляционными атмосферными процессами. В пояссе умеренных и высоких широт уровень ОСО имеет ярко выраженный годовой ход. На рис. 1, а представлены климатические нормы (многолетнее среднее) ОСО для каждой станции, рассчитанные по среднемесячным значениям за весь период наблюдений. Очевидно, что максимум суммарного озона для всех станций наблюдается в марте, многолетний минимум для Томска и Гус-Бея регистрируется в октябре. Минимум ОСО над Эдмонтоном проявляется в сентябре, что может быть связано с региональными особенностями горного климата. Динамикой атмосферных процессов определяются более высокие значения ОСО над станцией Гус-Бей в течение года и над Томском в зимне-весенний период.

Многолетние нормы УФ–B-радиации также имеют выраженный годовой ход. Климатический максимум УФР регистрируется в дни летнего солнцестояния, т.е. в июне–июле. На рис. 1, б приведены климатические нормы УФР на длине волны 305 нм. Очевидно, что для коротковолновой УФР

также явно проявляются региональные особенности, связанные в первую очередь с аэрозольно-облачной ситуацией (рис. 1, в).

Минимальное количество пасмурных дней в летний период регистрируется в Эдмонтоне, максимальное — на станции Гус-Бей. Для климатических норм УФ–B-радиации проявляется обратная закономерность. Таким образом, облачность фактически выполняет функцию своеобразного фильтра, определяющего приземный уровень коротковолновой солнечной радиации, однако внутригодовая изменчивость УФ–B-радиации обусловлена состоянием озоносферы. На рис. 2 представлены климатические нормы ОСО и УФР на длине волны 305 нм ($UFR_{\lambda=305}$), а также среднемесячные значения ОСО и $UFR_{\lambda=305}$ в 2005 и 2010 гг. для станции Гус-Бей. Очевидно, что при более низких, относительно многолетнего среднего, значениях ОСО уровень приземной коротковолновой радиации превышал климатическую норму (февраль–июль 2005 г.). В том случае, когда среднемесячные значения ОСО были выше многолетнего среднего, регистрировался более низкий (относительно климатической нормы) уровень коротковолновой УФР (март–июль 2010 г.).

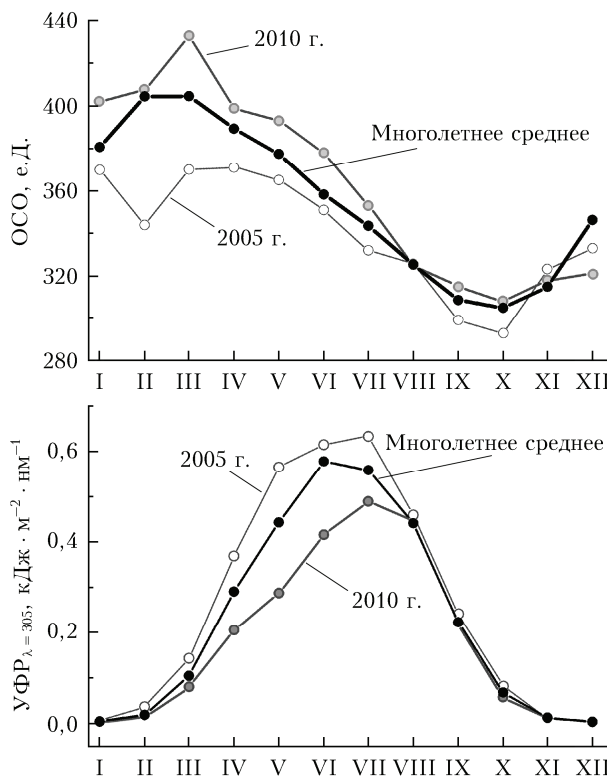


Рис. 2. Климатические нормы ОСО и УФР $\lambda = 305$ и временные ряды среднемесячных значений ОСО и УФР $\lambda = 305$ в 2005 и 2010 гг. для станции Гус-Бей

Результаты корреляционного анализа рядов ОСО и УФР

Чтобы выявить степень влияния изменения ОСО на модуляцию приземного уровня УФ–B-радиации, для выбранных станций был проведен корреляционный анализ рядов среднемесячных значений ОСО и УФ–B-радиации на длинах волн 300, 305, 310 и 315 нм. Поскольку статистическая значимость коэффициентов корреляции зависит от выборки N , временной интервал выбирался таким образом, что

бы обеспечить возможность выполнения сравнительного анализа (см. табл. 2), что, в свою очередь, позволило оценить влияние аэрозольно-облачной составляющей.

Климатические нормы рядов ОСО и УФ–B-радиации имеют выраженный временной сдвиг, поэтому годовой ход был исключен и корреляционный анализ проводился между рядами, приведенными к виду нормированных отклонений от соответствующего значения многолетнего среднего по формуле

$$I_i(t) = \frac{[x_i(t) - \bar{x}_i(t)]}{\bar{x}_i(t)}, \quad (1)$$

где $x_i(t)$ – текущее значение ряда, $\bar{x}_i(t)$ – многолетнее среднее, соответствующее данному значению.

Кроме того, в сформированных рядах было произведено вычитание линейных трендов, имеющих противоположные тенденции, и тем самым усиливающих корреляцию. Анализ проводился для полного анализируемого периода и в том же временном диапазоне максимально выраженного, в рассматриваемых регионах, вегетационного периода (месяцы май–август). Оценка статистической значимости результатов корреляционного анализа выполнялась по t -критерию Стьюдента для доверительной вероятности 0,99. Коэффициенты корреляции R временных рядов нормированных отклонений среднемесячных значений ОСО и УФ–B-радиации приведены в табл. 3.

Очевидно, что в соответствии с критерием теста связи для станций Гус-Бей и Эдмонтон для полного периода сильная корреляция существует между временными рядами относительных отклонений среднемесячных значений ОСО и УФ–B-радиации на длинах волн $\lambda \leq 305$ нм и умеренная для УФ–B на длине волны $\lambda \sim 310$ нм. На рис. 3 представлены временные ряды и диаграмма рассеяния относительных отклонений среднемесячных значений ОСО и УФР на длине волны 305 нм для станции Гус-Бей. Явно прослеживается противофазность колебаний параметров, которая формирует их высокую отрицательную корреляцию.

Таблица 3

Результаты корреляционного анализа рядов относительных отклонений среднемесячных значений ОСО и УФ–B-радиации за полный и вегетационный (май–август) периоды

Пункт наблюдений	Гус-Бей		Эдмонтон		Томск		
	Период	полный	V–VIII	полный	V–VIII	полный	V–VIII
Объем выборки, N		83	28	84	32	80	30
$ R _{min 0,99}$		0,28	0,47	0,28	0,45	0,29	0,46
$R_{\lambda = 300}$		–0,77	–0,85	–0,80	–0,90	–0,68	–0,82
$R_{\lambda = 305}$		–0,76	–0,74	–0,76	–0,76	–0,63	–0,76
$R_{\lambda = 310}$		–0,58	–0,59	–0,64	–0,55	–0,44	–0,64
$R_{\lambda = 315}$		–0,30	–0,43	–0,46	–0,32	–0,30	–0,51

П р и м е ч а н и е. $|R|_{min 0,99}$ – значения коэффициентов линейной корреляции, необходимые для достижения статистической значимости при доверительной вероятности 0,99; жирным шрифтом выделены статистически значимые коэффициенты корреляции R .

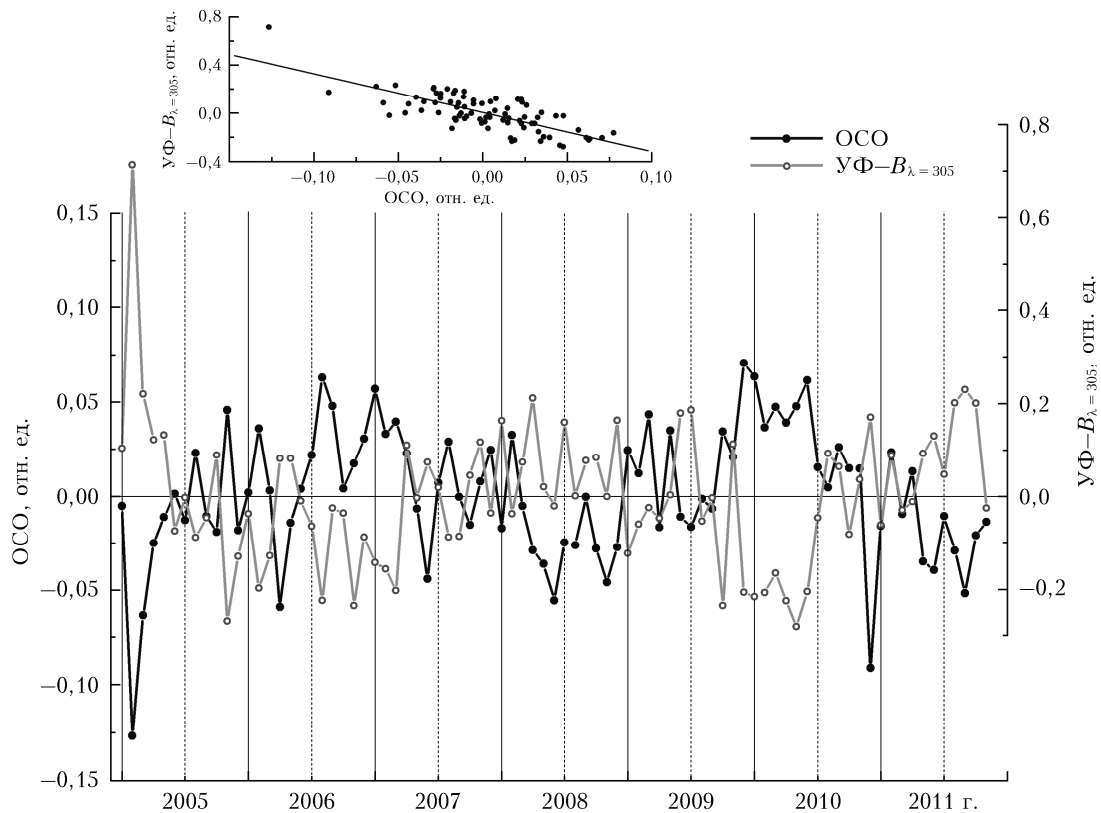


Рис. 3. Временные ряды и диаграмма рассеяния относительных отклонений среднемесячных значений ОСО и УФР на длине волны 305 нм для станции Гус-Бей

Несколько более низкий уровень корреляции рассматриваемых параметров для Томска может быть связан с относительно коротким периодом наблюдений УФР, что не позволило корректно определить климатическую норму. Неточности в построении климатической нормы особенно явно проявляются для холодного времени года при низких уровнях приземной УФ-*B*-радиации. Для вегетационного периода статистически высокая степень корреляции для УФ-*B* на длинах волн $\lambda \leq 305$ нм и умеренная для УФР на длине волны $\lambda \sim 310$ нм проявляется для всех трех станций. Значения коэффициентов корреляции при явно различной, особенно в летний период, облачной составляющей фактически одинаковы. Следовательно, в регионах произрастания boreальных лесов основным модулятором приземной УФ-*B*-радиации биологически активной части спектра является озонасфера.

Оценка коэффициентов радиационного усиления

Высокая отрицательная связь ОСО и УФ-*B*-радиации обуславливает выраженный рост УФР при деструкции стрatosферного озона. В тех случаях, когда истощение стратосферного озона не превышает 45%, взаимосвязь между изменениями ОСО (ΔO_3) и изменчивостью дозы УФ-*B*-радиации ΔE можно описать уравнением [2, 4]:

$$K = -\frac{\Delta E/E}{\Delta O_3/O_3}, \quad (2)$$

где K – коэффициент радиационного усиления.

Расчеты, выполненные в соответствии с уравнением (2) на основе рядов относительных отклонений среднемесячных значений ОСО и дозы УФ-*B*-радиации от многолетнего среднего, позволили определить коэффициенты радиационного усиления K , в том числе и для вегетационного периода. Установлено, что на каждой длине волны коэффициенты K для всех трех станций достаточно близки по величине, их разброс находится в пределах 3,4–10,0 и 4,0–10,6% для полного и вегетационного периодов соответственно. Средние абсолютные значения $|K|$ для зоны boreальных лесов представлены на рис. 4. Видно, что зависимость K от длины волны λ имеет экспоненциальный характер.

Анализ временных рядов ОСО и УФ-*B*-радиации среднемесячных и среднесуточных данных [13] показывает, что в умеренном поясе Северного полушария вариации приземной солнечной радиации на длинах волн короче 310 нм всегда обусловлены колебаниями ОСО. Зная коэффициент радиационного усиления для данного региона и анализируя поведение озонасферы, можно оценить риски для биосфера, связанные с ростом дозы коротковолновой УФР, возникающие при отрицательной озоновой аномалии. Так, истощение озона на 20%, аналогичное тому, которое имело место над Томском в апреле 2011 г.,

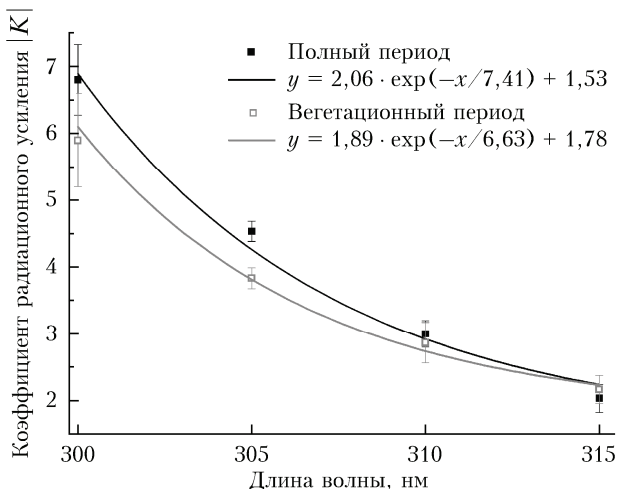


Рис. 4. Средние абсолютные значения коэффициентов радиационного усиления $|K|$ солнечного излучения на длинах волн 300, 305, 310 и 315 нм (показаны интервалы СКО)

приведет к увеличению дозы приземной УФР на длине волны 305 нм при среднем $|K| \sim 4$ на 80%, т.е. в 1,8 раза относительно нормы. На длине волны 300 нм при $|K| \sim 6,5$ подобная депрессия озона увеличит дозу радиации уже в 2,3 раза. Таким образом, с учетом экспоненциальной зависимости коэффициента радиационного усиления от длины волны глубокие озоновые аномалии существенно увеличивают дозу наиболее деструктивной части коротковолновой УФ–B-радиации. В течение вегетационного периода, особенно в его начальной стадии, глубокие длительные депрессии озоносферы способны спровоцировать серьезные необратимые нарушения структуры и функционального состояния фотосинтетического аппарата растений бореальной зоны.

Заключение

Полученные результаты показывают, что в широтном поясе произрастания бореальных лесов ($50 \leq \phi \leq 60^\circ$ с.ш.) основным модулятором приземной коротковолновой УФ-радиации является стратосферный озоновый слой. Именно колебания ОСО обусловливают изменение потока приходящей биологически активной солнечной радиации на длинах волн $\lambda \leq 310$ нм. В данном диапазоне спектра между временными рядами отклонений среднемесячных значений ОСО и УФ–B-радиации относительно климатической нормы существует тесная корреляционная связь (с доверительной вероятностью 0,99) вне зависимости от климатических условий. При этом различия климатической нормы УФР для регионов узкого широтного пояса в значительной степени определяются аэрозольно-облачным состоянием атмосферы. Статистически высокая корреляция параметров и наличие линейной связи между отклонениями ОСО и дозой УФ–B-радиации относительно нормы позволили определить средние значения коэффициентов радиационного усиления на длинах волн $\lambda < 315$ нм для данной климатической зоны. Таким

образом, в регионах средних широт можно оценивать риски, связанные с ростом коротковолновой УФР при отсутствии рядов наблюдений, используя данные об общем содержании озона в атмосфере.

1. *Ultraviolet radiation: An authoritative scientific review of environmental and health effects of UV, with reference to global ozone layer depletion // Environmental health criteria*. Geneva: World Health Organization, 1994. V. 160. 352 p.
2. *Kondratyev K.Ya., Varotsos C.A. Atmospheric Ozone Variability: Implications for Climat Change, Human Health and Ecosystems*. Chichester U.K.: Springer PRAXIS, 2000. 617 p.
3. Кондратьев К.Я., Федченко П.П. Влияние спектра солнечной радиации на эволюцию биосферы // Вестн. РАН. 2005. Т. 75, № 6. С. 522–532.
4. Madronich S., Flocke S. Theoretical estimation of biologically effective UV radiation at the Earth's surface / Ed. by C. Zerefos // Solar Ultraviolet Radiation – Modeling, Measurements and Effects, NATO ASI Series. Berlin: Springer, 1997. V. 152. P. 23–48.
5. Гущин Г.П., Виноградова Н.Н. Суммарный озон в атмосфере. Л.: Гидрометеоиздат, 1983. 237 с.
6. Lubin D., Jensen E.H., Gies H.P. Global surface ultraviolet radiation climatology from TOMS and ERBE data // J. Geophys. Res. 1998. V. 103, N 20. P. 26061–26091.
7. Joaefsson W., Landelius T. Effect of clouds on UV irradiance: As estimated from cloud amount, cloud type, precipitation, global radiation and sunshine duration // J. Geophys. Res. D. 2000. V. 105, N 4. P. 4927–4935.
8. Bernhard G., Mayer B., Seckmeyer G., Moise A. Measurements of spectral solar UV irradiance in tropical Australia // J. Geophys. Res. D. 1997. V. 102, N 7. P. 8719–8730.
9. Зуев В.В., Зуева Н.Е., Зотикова А.П., Бендер О.Г., Правдин В.Л. Комплексные исследования отклика фотосинтетического аппарата ели сибирской (*Picea obovata* Ledeb.) на воздействие УФ–B-радиации // Журн. Сибирского федерального ун-та. Сер. Биология. 2010. Т. 3, № 4. С. 391–406.
10. Зуев В.В. Дистанционный оптический контроль стрatosферных изменений. Томск: МГП «РАСКО», 2000. 140 с.
11. Сывороткин В.Л. Экологические аспекты дегазации Земли: Автореф. дис. ... докт. геол.-мин. наук. М.: МГУ, 2001. 302 с.
12. Кондратьев К.Я., Крапивин В.Ф. Моделирование глобального круговорота углерода. М.: Физматлит, 2004. 336 с.
13. Зуева Н.Е. Связь изменений биологически активной УФ–B-солнечной радиации с колебаниями общего содержания озона // Журн. СФУ. Сер. Биология. 2008. Т. 1, № 4. С. 345–357.
14. Зуев В.В., Зуева Н.Е. Влияние вариаций суммарного озона на изменение уровня УФ–B-радиации // Оптика атмосф. и океана. 2006. Т. 19, № 12. С. 1053–1061.
15. Zueva N.E., Zuev V.V. Influence of the total ozone variations on changes of the level of the ultraviolet solar radiation of the UV–B range // Abstracts of the papers at the Physics. Tomsk, July 2–7, 2006. Tomsk: IAO SB RAS, 2006. P. 59.
16. Van der A.R.J., Allaart M.A.F., Eskes H.J. Multi sensor reanalysis of total ozone // Atmos. Chem. Phys. 2010. V. 10, N 22. P. 11277–11294.
17. Meteorological Service of Canada. World Ozone and Ultraviolet Radiation Data Centre. URL: <http://www.woudc.org>

V.V. Zuev, N.E. Zueva, E.M. Korotkova. Comparative analysis of the total ozone and UV-B radiation observation series in boreal forest zones.

The paper represents the results of the correlation analysis of observation series of total ozone and ultra-violet radiation in 300–315 nm wavelength band for temperate zone stations of Russia and Canada (Northern hemisphere, 50°N and higher) in the boreal forest zones. It is shown that the ozonosphere is the primary modulator of the biologically active UV-B radiation spectrum part in this climatic zone. Radiation amplification factors of solar UV-B spectral region are determined. It is demonstrated that 20% of total ozone depletion leads to the increase of the dose of the shortwave part of solar UV-B radiation more than twice relative to its climatic norm.